

# CLASSIFICAÇÃO COM CIRCUITOS VARIACIONAIS QUÂNTICOS

## Ciência de Dados Quântica

Mestrado em Engenharia Física

Márcio Mano, pg47446

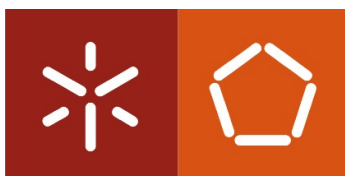
Pedro Teixeira, a75049

14 abril 2022

Docentes:

Luís Paulo Santos

André Sequeira



Universidade do Minho

## Contents

1	Introduction	1
2	Overview	1
3	Data Set	1
3.1	Wine Quality Data Set . . . . .	2
3.1.1	Data points features . . . . .	2
3.1.2	Classes . . . . .	2
3.2	Justificação para a escolha deste data set . . . . .	2
4	Encoding/Embedding	2
4.1	Conclusão em relação ao Encode: . . . . .	3
5	Parameterized Model	4
6	Circuit Measurements	4
7	Loss and Cost Function	4
8	Optimization Techniques	4
9	Conclusion	5

**Comentário geral:** Bom trabalho ! Falta apenas clarificar um pouco mais qual será a estratégia no que toca ao bloco de medição e pós -processamento. Dito isto, posteriormente será necessário ajustar a loss/cost function em função do tipo de medição que estão a fazer. A otimização dos parametros variacionais também precisa de ser melhorada, pois não ficou muito claro como pretendem otimizar o vosso circuito variacional.

Também existem umas duvidas relativamente ao amplitude encoding, no que toca à normalização dos dados. Não creio que seja ssim tão problemático. Mais abaixo têm uns comentários e sugestões para melhorarem o vosso encoding. Em suma, bom trabalho !

# 1 Introduction

O foco deste trabalho é a construção de um circuito variacional quântico capaz de classificar dados clássicos. Dito isto, o nosso sistema será então constituído por uma parte quântica e uma parte clássica.

- Na parte quântica (circuito quântico) temos um bloco responsável pelo *encoding/embedding*, um bloco responsável pelo algoritmo variacional e blocos de medição.
- Na parte clássica temos o pós-processamento (associa as medições a rótulos), o cálculo das *losses functions* e o otimizador dos parâmetros  $\theta$ ;

Estas duas partes ficam conectados em *loop* criando assim um sistema híbrido entre a computação quântica e computação clássica.

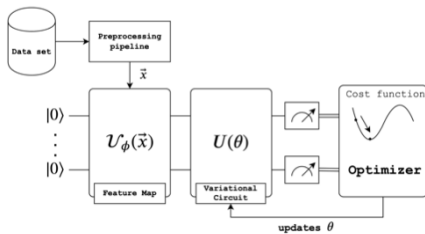


Figure 1: Exemplo de sistema híbrido.

## 2 Overview

Passos para a criação do nosso sistema:

1. **Data Set:** Definir o conjunto de dados a utilizar;

Posteriormente esse conjunto de dados será dividida em dois subconjuntos, um subconjunto de treino e um subconjunto de teste.

Normalmente em problemas de *machine learning* clássicos o conjunto de dados de teste tem cerca de 30% do tamanho do conjunto de dados de treino[1].

2. **Embedding/Encoding:** Definir o tipo de codificação a utilizar;

De modo a transformar os dados clássicos do nosso conjunto de dados em estados quânticos, para posteriormente serem processados por uma maquina quântica;

3. **Parameterized Model:** Aplicar um modelo parametrizado;

4. **Circuit Measurements:** Medição do circuito para extrair as *labels*;

5. **Optimization Techniques:** Usar técnicas de otimização para encontrar os melhores parâmetros para o sistema parametrizado, de modo a encontrarmos padrões dentro do nosso conjunto de dados.

Com este trabalho pretendemos utilizar um classificador que seja *Hardware Efficient*, isto porque, pretendemos utilizar os computadores quânticos disponibilizados pela IBM[2] para correr o nosso sistema. Portanto, encontrámo-nos limitados em certos aspetos quando comparados com simuladores de máquinas quânticas, tais como:

- Só temos acesso a máquinas com 5 *qubits*, máquinas com maior número de *qubits* não se encontram publicamente disponíveis;
- Possuímos um tempo de coerência limitado, portanto, não podemos elaborar circuitos muito longos/profundos, ou os nossos *qubits* iram perder a informação a eles associada;

Ao longo do documento expomos outros objetivos secundários, que também pretendemos cumprir, isto, pois podemos não conseguir realizar o nosso objetivo principal de criar um sistema que consiga ser corrido numa máquina quântica real.

Contudo, o verdadeiro objetivo com este trabalho é sermos introduzidos ao mundo de *machine learning*, mais propriamente ao mundo de *machine learning* quântico, pois quem sabe se esta não será uma área onde possamos trabalhar no futuro, visto que é uma área em constante crescimento que tem alcançado excelentes resultados nos últimos anos.

## 3 Data Set

O primeiro passo antes de começarmos a desenhar qualquer sistema de *machine learning*, é a escolha do *data set* sobre o qual iremos trabalhar.

No nosso caso temos de seleccionar um *data set* clássico ao qual seja possível codificar os seus elementos em estados quânticos, pois uma máquina quântica só consegue trabalhar com *qubits*, que ao contrário dos bits da computação clássica, que ora são 0 ou 1, os *qubits* podem estar num sobreposição dos dois estados, ou seja, 0 e 1 simultaneamente (grande parte da vantagem quântica advém deste fenómeno).

Portanto, uma das dificuldades que sentimos na escolha de um *data set* foi facto de o mesmo não poder ser muito complexo, por exemplo, não podíamos escolher um *data set* onde os *data points* fossem imagens, pois transformar pixels ou valores RGB em 0s e 1s não é uma tarefa fácil,

da mesma forma que também não podíamos escolher *data sets* com muitas *features*/atributos, pois não íamos ter *qubits* suficientes para codificar aos nossos dados.

### 3.1 Wine Quality Data Set

O *data set* selecionado pode ser encontrado no *link* seguinte[3].

Este *data set* está dividido em dois *data sets*, um *data set* associado a vinho verde tinto e outro *data set* associado ao vinho verde branco, ambos os vinhos com origem no norte de Portugal.

O nosso objetivo é usar os dois *data sets* como um só, isto é, juntaremos os dois *data sets* de modo que ao retirar um *data point*, da junção dos dois *data sets*, ao mesmo será associado um *label* de "vinho verde tinto" ou "vinho verde branco" dependendo do *data set* original ao qual pertenciam, ou seja, com este *data set* pretendemos fazer um **Classificador Binário** que consiga diferenciar "vinho verde tinto" de "vinho verde branco" tendo apenas a informação disponível na subsecção seguinte.

#### 3.1.1 Data points features

- |                        |                                  |
|------------------------|----------------------------------|
| 1. fixed acidity       | 7. total sulfur dioxide          |
| 2. volatile acidity    | 8. density                       |
| 3. citric acid         | 9. pH                            |
| 4. residual sugar      | 10. sulphates                    |
| 5. chlorides           | 11. alcohol                      |
| 6. free sulfur dioxide | 12. quality (atributo subjetivo) |

Este *data set* possui 12 atributos, sendo que um deles é, no nosso entender, um atributo subjetivo (qualidade do vinho), portanto um dos objetivos secundários do nosso projeto é verificar a influência que este atributo subjetivo tem no nosso classificador.

#### 3.1.2 Classes

Evidentemente a primeira diferença que nos vem à cabeça quando pensamos em vinho branco e vinho tinto é a cor, contudo, a real diferença advém do modo como é feito daí provém a cor[4].

1. Vinho Tinto têm 1599 *data points* associados;
  - Mais álcool;
  - Menos açúcar.
2. Vinho Branco têm 4898 *data points* associados.

- Menos álcool;
- Mais açúcar.

Durante a elaboração do nosso sistema vamos aumentando progressivamente o número de *data points* que fornecemos ao nosso sistema durante a fase de treino, ou seja, vamos fazer varias sessões de treino, e de teste, aonde vamos aumentando o tamanho do *data set* de treino, e consequentemente aumentar linearmente o *data set* de teste (30% do tamanho do *data set* de treino), de modo a encontrarmos os pontos de *underfitting* e *overfitting* do nosso sistema.

### 3.2 Justificação para a escolha deste *data set*

Resolvemos escolher este *dataset* por 3 motivos:

1. Possui poucos atributos/features, quando comparado com os outros *data sets* que encontramos;
2. Possuímos muitos dados, portanto, em princípio, não corremos o risco de fazer *underfitting* ao nosso sistema, sendo que o *overfitting* é mais fácil de resolver que o *underfitting*.
3. Encontramos uma tese de um aluno da Holanda que tenta fazer um classificador como o nosso usando o mesmo *data set* e nós queremos comparar os nossos resultados experimentais com os que se encontram neste documento[5].

## 4 Encoding/Embedding

Para o *encoding* do nosso conjunto de dados avaliamos diferentes opções:

#### 1. Basis Encoding;

Não recomendado, visto que cada *data point* têm 11 ou 12 atributos com valores decimais, portanto estar a converter todos os valores para binário para codificar nas bases quânticas, iria significar que teríamos de usar vários *qubits*.

#### 2. Amplitude Encoding;

Provavelmente não será o *encoding* ideal, pois nos casos onde diferentes atributos do mesmo *datapoint* possuem uma grande diferença entre eles a normalização dos nossos atributos fará com que os atributos de menor valor sejam quase desprezados, mas como é dos *encodes* que utiliza menos *qubits* será o primeiro que implementaremos, pois  $2^n = \text{Num. de atributos}$ , onde  $n$  é o número de *qubits*.

### 3. Angle Encoding;

Provavelmente não será a melhor abordagem uma vez que para cada atributo do nosso *datapoint* precisamos de 1 *qubit*, ou seja para o nosso dataset precisaremos de 12 *qubits* para cada *datapoint*, o que basicamente fazemos nesta codificação (*encoding*) é fazer rotações em cada *qubit* de acordo com o valor do atributo correspondente a esse *qubit* (limitando a gama de variação de cada *feature* a um intervalo de  $-\pi$  e  $\pi$ ).

### 4. Higher order Encoding;

Provavelmente não será a melhor abordagem dado que para cada atributo do nosso *datapoint* precisamos de 1 *qubit* e aumenta significativamente a profundidade do nosso circuito, pois não só fazemos as rotações de cada parâmetro mas também o *entanglement* dos nossos *qubits* juntamente com as rotações do produto dos atributos. A tudo isto é adicionado a possibilidade de fazer *data re-upload* aumentando ainda mais a profundidade do nosso circuito e consequentemente o ruído do nosso sistema.

### 5. Feature Map

Seja  $\mathcal{X}$  um dado *data set*. Uma *feature map*  $\phi$  é uma função que funciona como  $\phi : \mathcal{X} \rightarrow \mathcal{F}$ , em que  $\mathcal{F}$  é um *feature space*.

Os resultados do mapeamento de cada elemento do *data set*,  $\phi(x)$  para todo o  $x \in \mathcal{X}$ , são chamados de *feature vectores*.

Em geral  $\mathcal{F}$  é um espaço vetorial e  $\phi$  é um *quantum feature map*,  $\phi : \mathcal{X} \rightarrow \mathcal{F}$ .

De seguida apresentamos os diferentes tipos de *feature maps* que encontramos:

#### 1) ZFeatureMap

"The first order Pauli Z-evolution circuit."

É uma expansão diagonal de primeira ordem sendo implementada usando uma *ZFeature Map* onde  $|S| = 1$ .

O circuito resultante não contém nenhuma interação (*entanglement*) entre as outras *features* do dado codificado.

*Data Map Function*:  $\phi_s : x \rightarrow x_i$

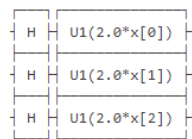


Figure 2: Exemplo *ZFeature Map*[6]

#### 2) ZZFeatureMap

"Second-order Pauli-Z evolution circuit."

Este *ZZFeatureMap* permite *mapeamento* com  $|S| \leq 2$ , portanto interações entre as *features* de um dado será possível e  $\phi$  é uma função clássica não linear.

*Data Map Function*:

$$\phi_s : x \rightarrow \begin{cases} x_i, & S = \{i\} \\ (\pi - x_i)(\pi - x_{x_i}), & S = \{i, j\} \end{cases}$$

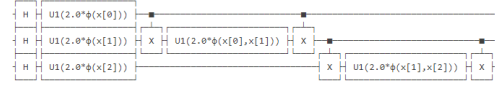


Figure 3: Exemplo *ZZFeature Map*[6]

#### 3) Pauli FeatureMap

Forma mais geral de um *feature map*.

Permite a criação de *feature maps* usando diferentes gates. Podemos criar *feature maps* como o *ZFeatureMap*, ou como o *ZZFeatureMap*, entre outros.

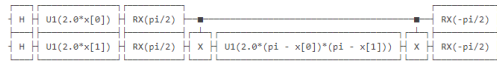


Figure 4: Exemplo *Pauli Feature Map*[7]

## 4.1 Conclusão em relação ao Encode:

À primeira vista o melhor encoding para o nosso problema é o *Amplitude Encoding*, contudo não sabemos como funcionará a parte de normalização dos atributos, o nosso receio é que para atributos muito disparos/afastados tenhamos valores normalizados muito próximos de zero e isso possa ser um problema.

Após uma análise mais profunda surgiu a possibilidade de utilizar *Feature Maps* como *encoding*, sendo que temos à nossa disposição três tipos diferentes de *Feature Map*: *ZFeatureMap*, *ZZFeatureMap* e *Pauli FeatureMap*.

Contudo, utilizando uma *feature map* como encoding irá surgir o problema mencionado na secção 2, isto, pois para conseguirmos utilizar uma *feature map* iríamos precisar de 11/12 *qubits* e os computadores quânticos à nossa disposição só possuem 5 *qubits*, assim sendo temos de arranjar uma forma de reduzir a dimensionalidade do nosso *data set*, isto é, usar menos *features* mas sem perder a informação a elas associadas, é aí que entram as técnicas de *Principal Component Analysis (PCA)*[8].

Numa próxima fase de avaliação do nosso projeto serão apresentados os resultados atingidos com cada tipo de *encoding* bem com as técnicas de PCA[8].

## 5 Parameterized Model

Existem diferentes circuitos quânticos parametrizados que podemos aplicar no nosso sistema, alguns já se encontram predefinidos na biblioteca **qiskit**[9] como os abaixo enunciados:

- Two-local circuit;
- Hardware efficient SU(2) 2-local circuit;
- Pauli Two-Design ansatz;
- Real-amplitudes 2-local circuit;

Dentro destes circuitos enunciados o que mais nos chamou à atenção foi o **Hardware efficient SU(2) 2-local circuit**[10] pelo facto de ser *Hardware Efficient*, contudo não temos qualquer tipo de garantias que o mesmo será uma boa opção para o nosso classificador, apesar disso existe uma quantidade de alternativas enormes para circuitos variacionais, nós podemos até mesmo desenhar o nosso próprio sistema variacional, tendo claro sempre o devido cuidado, com a profundidade dos circuitos, bem como o *entanglement* para minimizar o ruído introduzido no nosso sistema, mas gratificando sempre uma boa expressibilidade do nosso sistema[11].

Aqui podemos ver um exemplo de um circuito variacional simples:

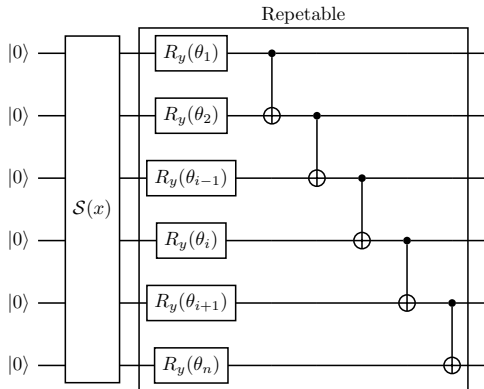


Figure 5: Exemplo de um circuito variacional para 6 *qubits*, onde o bloco  $S(x)$  representa o bloco de encoding

Como podemos observar na imagem o bloco parametrizado pode ser repetido, isto obviamente aumenta a expressividade do nosso circuito[11], contudo o nosso objetivo é construir um circuito o menos profundo possível, ou seja, repetiremos o bloco parametrizado o mínimo de vezes possíveis até obtermos resultados aceitáveis tais como os do [5].

## 6 Circuit Measurements

Fazer medições e extrair labels das mesmas, existem pelo menos dois métodos de fazer medições e associar-lhes uma *label*/classe

em problemas de *machine learning* quântico, mais propriamente problemas de **classificação binária**, como podemos observar em baixo.

- *Parity post-processing*:

Ao medir todos os *qubits* do nosso sistema na base computacional obteremos uma *string* binária (p.e 101000111010) o tamanho da *string* será igual ao número de *qubits* e basicamente o que fazemos é verificar a paridade da nossa *string* binária, isto é, contamos o número de 1s. Quando esse número for par associamos a uma classe, quando for impar associamos à outra classe..

- *Measurement of the first qubit*:

Apenas temos em consideração a medição do primeiro *qubit*, e calculamos o seu valor expectável,  $\langle z \rangle$ . Se  $\langle z \rangle$  for menor que 0 associamos uma classe, se for maior ou igual a 0 associamos a outra classe.

## 7 Loss and Cost Function

Loss Function:

$$L(x, y) = y - y^{truth}$$

Mean Squared Error (MSE).

$$C(\theta) = \frac{1}{n} \sum_{i=1}^n (f(x_i, \theta) - y^{truth})^2$$

Mean Absolute Error (MAE)

$$C(\theta) = \frac{1}{n} \sum_{i=1}^n |f(x_i, \theta) - y^{truth}|$$

## 8 Optimization Techniques

Para otimizar os nossos parâmetros temos de escolher uma técnica que calcule os melhores parâmetros  $\theta$ . Uma dessas técnicas é o *Gradient Descent*.

- *Gradient Descent*. Para otimizar os parâmetros  $\theta$  o que fazemos é a subtração entre a medição do circuito variacional  $w(\theta + s)$  e a medição do circuito variacional  $w(\theta - s)$ , sendo que  $s$  tem que ser um valor pequeno, mas não muito pequeno.

Assim o “gradiente” é:

$$\theta_{t+1} = \theta_t - \eta \vec{\nabla}(c(\theta))$$

No entanto, numa próxima fase de desenvolvimento do projeto outros otimizadores presentes no qiskit[12] serão testados.

## 9 Conclusion

"Talk is cheap. Show me the code"

-Linus Torvalds

## References

- [1] Building a Quantum Variational Classifier Using Real-World Data. <https://medium.com/qiskit/building-a-quantum-variational-classifier-using-real-world-data-809c59eb17c2>. Accessed: 2022-04-09.
- [2] IBM Quantum Services quantum machines. <https://quantum-computing.ibm.com/services?services=systems>. Accessed: 2022-04-13.
- [3] Wine Data Set red and white wine. <https://archive.ics.uci.edu/ml/datasets/Wine+Quality?spm=a2c4e.11153940.blogcont603256.15.333b1d6fY0si0K>. Accessed: 2022-04-13.
- [4] Red Wine vs White Wine: The Real Differences. <https://winefolly.com/tips/red-wine-vs-white-wine-the-real-differences/>. Accessed: 2022-04-10.
- [5] Sevak Mardirosian. *Quantum-enhanced Supervised Learning with Variational Quantum Circuits*. PhD thesis, PhD thesis. Leiden University, 2019.
- [6] The first order Pauli Z-evolution circuit. <https://qiskit.org/documentation/stubs/qiskit.circuit.library.ZFeatureMap.html#qiskit.circuit.library.ZFeatureMap>. Accessed: 2022-04-13.
- [7] The Pauli Expansion circuit. <https://qiskit.org/documentation/stubs/qiskit.circuit.library.PauliFeatureMap.html#qiskit.circuit.library.PauliFeatureMap>. Accessed: 2022-04-13.
- [8] A Step-by-Step Explanation of Principal Component Analysis. <https://builtin.com/data-science/step-step-explanation-principal-component-analysis>. Accessed: 2022-04-14.
- [9] Circuit Library qiskit.circuit.library. [https://qiskit.org/documentation/apidoc/circuit\\_library.html](https://qiskit.org/documentation/apidoc/circuit_library.html). Accessed: 2022-04-13.
- [10] The hardware efficient SU(2) 2-local circuit efficientSU2. <https://qiskit.org/documentation/stubs/qiskit.circuit.library.EfficientSU2.html#qiskit.circuit.library.EfficientSU2>. Accessed: 2022-04-13.
- [11] Sukin Sim, Peter D Johnson, and Alán Aspuru-Guzik. Expressibility and entangling capability of parameterized quantum circuits for hybrid quantum-classical algorithms. *Advanced Quantum Technologies*, 2(12), 2019.
- [12] Qiskit Optimizers. <https://qiskit.org/documentation/stubs/qiskit.algorithms.optimizers.html>. Accessed: 2022-04-14.